

# ВЛИЯНИЕ ПОДОГРЕВА НА СТРУКТУРУ И ПРЕДЕЛЫ СУЩЕСТВОВАНИЯ ФРОНТА ГОРЕНИЯ В ДВУХСЛОЙНЫХ ОБРАЗЦАХ

Б. С. Сеплярский, Т. П. Ивлева, Е. А. Левашов\*

Институт структурной макрокинетики и проблем материаловедения РАН, 142432 Черноголовка

\* Исследовательский центр СВС Института стали и сплавов, 117936 Москва

С помощью методов математического моделирования исследована тепловая и концентрационная структура фронта горения в двухслойных образцах. Определены пределы горения по теплопотерям при различных тепловых эффектах и теплофизических характеристиках слоев. Показано, что повышение температуры среды, в которую помещен образец, является эффективным способом управления процессом горения. Установлено, что для значений определяющих параметров, используемых в расчетах, повышение температуры на один характерный интервал  $T_{env,1} = T_{in} + RT_{b,1}^2/E$  ( $T_{in}$  — начальная температура образца,  $T_{b,1}$  — температура горения неразбавленного слоя) увеличивает критическое значение коэффициента теплопотерь более чем вдвадцать раз.

В работе [1] предложен способ получения методом СВС новых алмазосодержащих материалов и изделий. Суть метода состоит в введении алмаза в реакционную смесь, состоящую из реагентов, которые могут взаимодействовать в режиме горения (например, Ti—B, Ni—Al, Ti—C—Ni, Ti—Mo—C и др.). Проведенные экспериментальные исследования показали, что алмазное зерно в определенных условиях выдерживает без существенных изменений своих свойств воздействие высоких температур, развиваемых в волне синтеза. Оказалось, что объемное разупрочнение алмаза в условиях СВС-процесса в большей степени зависит от времени его пребывания в высокотемпературной зоне, чем от температуры в зоне реакции.

Дальнейшим развитием данного направления исследований явилось создание с помощью метода СВС функциональных градиентных алмазосодержащих материалов (ФГАМ) [2]. В этом случае используется двухслойный вариант проведения СВС-процесса с введением алмаза в реакционную смесь одного слоя (рис. 1). Ождалось, что данный прием позволит решить сразу три технологические задачи:

- 1) уменьшить время пребывания алмаза в высокотемпературной зоне волны горения;
- 2) повысить предельную концентрацию алмаза в рабочем слое, так как после инициирования реакции горения слой без алмаза играет роль химической печки, прогреваю-

щей экзотермическую алмазосодержащую смесь;

- 3) существенно снизить расход дорогостоящего алмазного порошка при получении крупногабаритных заготовок.

В данной работе численно исследовали форму и тепловую и концентрационную структуру фронта горения в двухслойных системах, а также определяли пределы горения по теплопотерям при различных тепловых эффектах и теплофизических характеристиках алмазосодержащего слоя. Предложен новый прием, расширяющий возможности СВС-метода получения ФГАМ. Суть этого приема состоит в использовании предварительно нагретой инертной засыпки, окружающей исходную заготовку.

Рассматривается следующая модель процесса (рис. 1). На торце плоской реакционно-

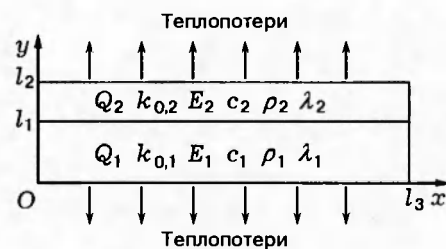


Рис. 1. Модель процесса

способной заготовки, состоящей из двух слоев, находящихся в идеальном контакте друг с другом, в течение времени  $0 < t < t_{ig}$  задается температура  $T_{ig}$ , превышающая начальную температуру образца  $T_{in}$ . В результате нагрева образца в нем инициируется волна горения, которая распространяется вдоль оси  $Ox$ . Считается, что в общем случае теплофизические свойства слоев различны и каждый из них характеризуется набором кинетических констант и тепловых эффектов. Теплообмен образца с окружающей средой происходит по закону Ньютона и определяется коэффициентом теплоотдачи  $\alpha$  (в общем случае значение  $\alpha$  различно для каждого из слоев). Полагается, что ширина образца много больше его толщины, что позволяет ограничиться рассмотрением двумерных температурного и концентрационного полей.

Система уравнений, описывающая такой процесс, имеет следующий вид:

$$0 < y < l_1 :$$

$$\begin{aligned} c_1 \rho_1 \frac{\partial T_1}{\partial t} = \lambda_1 \left( \frac{\partial^2 T_1}{\partial x^2} + \frac{\partial^2 T_1}{\partial y^2} \right) + \\ + Q_1 k_{0,1} \exp \left( - \frac{E_1}{RT_1} \right) (1 - \eta_1), \\ \frac{\partial \eta_1}{\partial t} = k_{0,1} (1 - \eta_1) \exp \left( - \frac{E_1}{RT_1} \right); \end{aligned}$$

$$l_1 < y < l_2 :$$

$$\begin{aligned} c_2 \rho_2 \frac{\partial T_2}{\partial t} = \lambda_2 \left( \frac{\partial^2 T_2}{\partial x^2} + \frac{\partial^2 T_2}{\partial y^2} \right) + \\ + Q_2 k_{0,2} \exp \left( - \frac{E_2}{RT_2} \right) (1 - \eta_2), \\ \frac{\partial \eta_2}{\partial t} = k_{0,2} (1 - \eta_2) \exp \left( - \frac{E_2}{RT_2} \right). \end{aligned}$$

Начальные условия:

$$t = 0, 0 \leq x \leq l_3, 0 \leq y \leq l_2 :$$

$$T_1 = T_2 = T_{in}, \eta_1 = \eta_2 = 0.$$

Границные условия:

$$x = 0, 0 \leq y \leq l_2 :$$

$$0 < t < t_{ig} : T_1 = T_2 = T_{ig},$$

$$t \geq t_{ig} : \lambda_1 \frac{\partial T_1}{\partial x} = \lambda_2 \frac{\partial T_2}{\partial x} = 0;$$

$$0 \leq x \leq l_3, y = 0 : \lambda_1 \frac{\partial T_1}{\partial y} = \alpha_1 (T_1 - T_{env,1});$$

$$0 \leq x \leq l_3, y = l_2 : \lambda_2 \frac{\partial T_2}{\partial y} = -\alpha_2 (T_2 - T_{env,2});$$

$$x = l_3, 0 \leq y \leq l_2 : \frac{\partial T_1}{\partial x} = \frac{\partial T_2}{\partial x} = 0;$$

$$0 \leq x \leq l_3, y = l_1 : \lambda_1 \frac{\partial T_1}{\partial y} = \lambda_2 \frac{\partial T_2}{\partial y}, T_1 = T_2.$$

Здесь  $T_i$  — температура;  $x, y$  — пространственные координаты;  $t$  — время;  $\eta_i$  — степень превращения исходной смеси в продукт реакции;  $\lambda_i$  — эффективный коэффициент теплопроводности;  $c_i, \rho_i$  — теплоемкость и плотность конденсированного вещества;  $E_i, k_{0,i}$  — энергия активации и предэкспоненциальный множитель реакции;  $R$  — универсальная газовая постоянная;  $Q_i$  — тепловой эффект реакции на единицу массы конденсированной смеси;  $T_{in}$  — начальная температура вещества;  $T_{ig}$  — температура воспламенителя;  $t_{ig}$  — время действия воспламенителя;  $l_1, l_2$  — толщины неразбавленного слоя и всего образца;  $l_3$  — длина образца;  $T_{env,i}$  — температура окружающей образец среды;  $\alpha_i$  — коэффициент теплоотдачи в законе Ньютона; индексы относятся: 1 — к неразбавленному слою, 2 — к слою, содержащему алмазный порошок.

При записи системы полагали, что теплофизические свойства каждого слоя постоянны и не меняются в процессе горения, алмазные зерна являются инертным разбавителем и не участвуют в синтезе. Это означает, что кинетические характеристики реакции первого и второго слоев совпадают:  $E_1 = E_2, k_{0,1} = k_{0,2}$ .

Для удобства анализа и уменьшения числа независимых переменных систему уравнений приводили к безразмерному виду. При обезразмеривании использованы обычные в теории горения масштабы:

$$0 < \zeta < L_1 :$$

$$\frac{\partial \theta_1}{\partial \tau} = \frac{\partial^2 \theta_1}{\partial \xi^2} + \frac{\partial^2 \theta_1}{\partial \zeta^2} + (1 - \eta_1) \exp \frac{\theta_1}{1 + \beta \theta_1},$$

$$\frac{\partial \eta_1}{\partial \tau} = \gamma (1 - \eta_1) \exp \frac{\theta_1}{1 + \beta \theta_1};$$

$$L_1 < \zeta < L_2 :$$

$$\frac{\partial \theta_2}{\partial \tau} = c_a \left( \frac{\partial^2 \theta_2}{\partial \xi^2} + \frac{\partial^2 \theta_2}{\partial \zeta^2} \right) +$$

$$+ c_k c_Q c_c (1 - \eta_2) \exp \frac{c_E \theta_2}{1 + \beta \theta_2},$$

$$\frac{\partial \eta_2}{\partial \tau} = c_k \gamma (1 - \eta_2) \exp \frac{c_E \theta_2}{1 + \beta \theta_2}.$$

Начальные и граничные условия:

$\tau = 0, 0 \leq \xi \leq L_3, 0 \leq \zeta \leq L_2 :$

$$\theta_1 = \theta_2 = -\theta_{in}, \eta_1 = \eta_2 = 0;$$

$\xi = 0, 0 \leq \zeta \leq L_2, 0 < \tau < \tau_{ig} : \theta_1 = \theta_2 = 0;$

$$\tau \geq \tau_{ig} : \frac{\partial \theta_1}{\partial \zeta} = c_\lambda \frac{\partial \theta_2}{\partial \xi} = 0;$$

$$0 < \xi \leq L_3, \zeta = 0 : \frac{\partial \theta_1}{\partial \zeta} = z_1(\theta_1 + \theta_{env,1});$$

$$0 < \xi \leq L_3, \zeta = L_2 : \frac{\partial \theta_1}{\partial \zeta} = -z_2(\theta_2 + \theta_{env,2});$$

$$\xi = L_3, 0 \leq \zeta \leq L_2 : \frac{\partial \theta_1}{\partial \xi} = c_\lambda \frac{\partial \theta_2}{\partial \xi} = 0;$$

$$0 < \xi \leq L_3, \zeta = L_1 : \frac{\partial \theta_1}{\partial \zeta} = c_\lambda \frac{\partial \theta_2}{\partial \zeta}, \theta_1 = \theta_2.$$

Безразмерные переменные и параметры:

$$\theta_i = \frac{E_1}{RT_{b,1}^2}(T_i - T_{b,1}), \quad T_{b,1} = T_{in} + \frac{Q_1}{c_1\rho_1},$$

$$\tau = \frac{t}{t_*}, \quad i_* = \frac{c_1\rho_1 RT_{b,1}^2}{Q_1 E_1 k_{0,1}} \exp \frac{E_1}{RT_{b,1}},$$

$$\xi = \frac{x}{x_*}, \quad \zeta = \frac{y}{x_*}, \quad x_* = \sqrt{a_1 t_*}, \quad a_1 = \frac{\lambda_1}{c_1 \rho_1},$$

$$\beta = \frac{RT_{b,1}}{E_1}, \quad \gamma = \frac{c_1 \rho_1 RT_{b,1}^2}{E_1 Q_1},$$

$$L_1 = \frac{l_1}{x_*}, \quad L_2 = \frac{l_2}{x_*}, \quad L_3 = \frac{l_3}{x_*},$$

$$c_a = \frac{a_2}{a_1} = \frac{\lambda_2}{c_2 \rho_2} \frac{c_1 \rho_1}{\lambda_1} = \frac{\lambda_2}{\lambda_1} c_c, \quad c_c = \frac{c_1 \rho_1}{c_2 \rho_2},$$

$$c_Q = \frac{Q_2}{Q_1}, \quad c_E = \frac{E_2}{E_1}, \quad c_k = \frac{k_{0,2}}{k_{0,1}} \exp \frac{E_1 - E_2}{RT_{b,1}},$$

$$c_\lambda = \frac{\lambda_2}{\lambda_1}, \quad \theta_{env,i} = \frac{E_1}{RT_{b,1}^2}(T_{b,1} - T_{env,i}),$$

$$\theta_{in} = \frac{E_1}{RT_{b,1}^2}(T_{b,1} - T_{in}), \quad \tau_{ig} = \frac{t_{ig}}{t_*},$$

$$z_1 = \frac{\alpha_1 x_*}{\lambda_1}, \quad z_2 = \frac{\alpha_2 x_*}{\lambda_2}.$$

Здесь  $\theta_i, \xi, \zeta, \tau$  — безразмерные температура, координаты и время;  $\beta, \gamma$  — малые параметры теории горения;  $\theta_{in}$  — безразмерная начальная температура вещества;  $z_1, z_2$  — безразмерные коэффициенты теплоотдачи;  $L_1, L_2$  — безразмерные толщины неразбавленного слоя и образца;  $L_3$  — безразмерная длина образца;  $c_Q$  — отношение тепловых эффектов разбавленного и неразбавленного слоев;  $\theta_{env,1}, \theta_{env,2}$  —

безразмерные температуры окружающей среды;  $c_a, c_\lambda, c_c$  — отношение коэффициентов температуропроводности, теплопроводности и объемной теплоемкости второго и первого слоев;  $c_E$  — отношение энергий активации реакций в алмазосодержащем и неразбавленном слоях;  $c_k$  — отношение скоростей реакций при масштабной температуре  $T_{b,1}$  и глубине превращения  $\eta_1 = \eta_2 = 0$ ;  $\tau_{ig}$  — время действия теплового импульса.

При численном анализе задач такого типа, содержащих значительное количество безразмерных переменных, принципиальное значение имеет выбор ограниченного числа параметров, которые изменяются в процессе расчета, а также численные значения других параметров. Основываясь на результатах экспериментальных исследований, в качестве варьируемых параметров выбирали отношение  $c_Q$ , которое характеризует степень разбавления шихты алмазным порошком, а также отношения  $c_a$  и  $c_\lambda$ . Выбор  $c_a$  и  $c_\lambda$  в качестве варьируемых параметров не случаен, а основан на том факте, что коэффициент теплопроводности алмаза равен  $1200 \div 2000$  Вт/(м·К) [3] и много больше коэффициентов теплопроводности других компонентов шихты, используемых при синтезе ФАГМ. Эксперименты показали [2], что оптимальное соотношение между массами второго и первого слоев  $m_2/m_1 \approx 0,3 \div 0,6$ , поэтому в численных расчетах отношение  $(L_2 - L_1)/L_1$ , которое в рамках данной модели характеризует отношение  $m_2/m_1$ , принимали равным 0,5. Для выбора значения  $L_2$  использованы данные о протяженности зоны реакции, полученные в опытах по остановке фронта горения путем закалки в медном клине [4]. Эти опыты показали, что ширина зоны реакции  $l_r \approx 100$  мкм. Тогда размеры зоны прогрева  $i_h$  можно оценить по формуле

$$l_h = l_r / \gamma.$$

Исходя из нее  $i_h \approx 0,5 \div 1$  мм. Поэтому в основной серии расчетов безразмерную толщину образца  $L_2$  принимали равной 12 прогретым слоям, что соответствует размерной толщине образца 6  $\div$  12 мм. Заготовки такой толщины и используются в экспериментах по изучению механизма синтеза ФАГМ. Значение параметров  $\gamma$  и  $\beta$  выбирали так, чтобы распространение фронта реакции носило стационарный характер. В соответствии с [5] этим требованиям отвечает следующая связь:  $9,1\gamma - 2,5\beta > 1$ .

Поскольку количественные данные о кинетике реакции горения, а также о теплофизических свойствах смесей, используемых при синтезе ФГАМ, отсутствуют, исследование закономерностей горения составных образцов носит качественный характер. Это означает, что необходимо найти такие внешние воздействия, которые приведут к качественному изменению характера горения и будут способствовать решению задачи получения ФГАМ с повышенным содержанием алмаза. Авторам статьи удалось найти такое внешнее воздействие — помещение исходного образца в подогретую среду ( $T_{env,1} > T_{in}$ ,  $T_{env,2} > T_{in}$ ).

Для объяснения высокой эффективности этого приема рассмотрим структуру фронта в двухслойном образце. В случае, когда второй слой содержит значительное количество алмазного порошка, скорость фронта в нем ( $u_2$ ) значительно меньше скорости горения в первом слое ( $u_1$ ). При этом поток тепла от горячих продуктов слоя, не содержащего алмазного наполнителя, инициирует реакцию горения в алмазосодержащем слое. Фронт превращения вытянут вдоль границы раздела смесей, что позволяет рассматривать его как одномерный с направлением движения от границы  $\zeta = L_1$  к внешней границе образца  $\zeta = L_2$ . Скорость поперечного фронта  $v_2(\zeta)$  определяется потоком тепла от горячего первого слоя. По мере удаления зоны реакции от границы контакта слоев поток тепла, а вместе с ним и температура в зоне превращения уменьшаются. В силу экспоненциальной зависимости скорости фронта от температуры в зоне горения скорость быстро уменьшается. При этом размер зоны прогрева  $l_h = a_2/v_2(\zeta)$  возрастает. Здесь  $a_2 = \lambda_2/c_2\rho_2$  — коэффициент температуропроводности второго слоя. Когда  $l_h$  становится больше длины несгоревшей части слоя, возникают дополнительные потери тепла в окружающую среду, что еще больше замедляет распространение фронта. Если потери тепла больше потока тепла из зоны реакции, происходит остановка фронта и образуется недогоревший слой смеси. Следовательно, наиболее чувствительными к воздействию теплопотерь являются внешние слои образца.

Совсем по-другому происходит распространение поперечного фронта при подогреве образца от внешнего источника. По мере удаления фронта от границы раздела он попадает в область, нагревающуюся от окружающей среды, что равносильно повышению начальной

температуры  $T_{in}(y)$ , а вместе с ней и температуры горения  $T_{b,2}(y)$ :

$$T_{b,2}(y) = T_{in}(y) + \frac{Q_2}{c_2\rho_2}.$$

Чем дальше продвигается фронт от границы  $\zeta = L_1$  к границе  $\zeta = L_2$ , тем больше температура  $T_{in}(y)$ , что компенсирует уменьшение потока тепла от первого, горячего слоя. С увеличением  $T_{b,2}(y)$  резко уменьшается толщина недогоревшего слоя. Высокая эффективность такого способа уменьшения недогорания в поверхностных слоях вещества впервые показана в работе [6]. Так, при температуре окружающей среды, превышающей начальную температуру смеси всего на один характерный температурный интервал  $T_{env,1} = T_{in} + RT_{b,1}^2/E$ , недогорание уменьшалось в 2–3 раза. В численных экспериментах ограничивались повышением  $T_{env,i}$  на один характерный интервал, что соответствует разнице  $T_{env,i} - T_{in} \approx 300 \div 500$  °С. Такой нагрев засыпки, окружающей заготовку, легко осуществим на практике и не приводит к воспламенению шихты, используемой в экспериментах по получению ФГАМ, а также к заметному ее превращению.

Для численного исследования процесса горения использовали программу, в которой исходная система дифференциальных уравнений записана с помощью конечных разностей. Решение искали по неявной разностной схеме с применением двумерной неравномерной расчетной сетки с переменным числом узлов, адаптирующейся к изменяющейся со временем структуре фронта. В результате численного решения определяли положение фронта в различные моменты времени. Считали, что местонахождению фронта горения (области интенсивного тепловыделения) соответствует линия уровня с половиной глубиной превращения. В процессе численного эксперимента вели наблюдение за изменением распределения температуры и глубины превращения вдоль оси  $O\xi$  для характерных продольных сечений  $\zeta = 0$ ,  $\zeta = L_1$ ,  $\zeta = L_2$ . Для этих же сечений определяли зависимость от времени мгновенных скоростей движения фронта  $\omega$ , вдоль оси  $O\xi$ :  $\omega_i = d\xi_i/d\tau$ , где  $\xi_i$  — координата точки с глубиной превращения  $\eta = 0,5$  в выбранном продольном сечении. В дальнейшем будем считать, что индекс 1 относится к  $\zeta = 0$ , 2 — к  $\zeta = L_1$ , 3 — к  $\zeta = L_2$ .

Для того чтобы понять, как происходит взаимодействие тепловых полей в каждом из

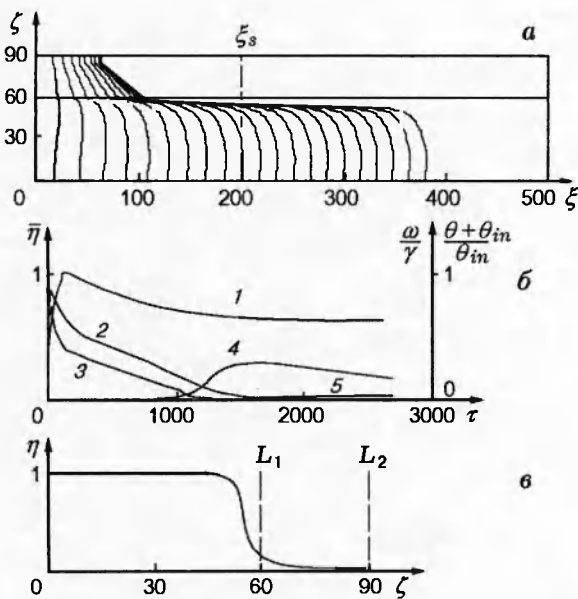


Рис. 2. Форма фронта горения в составном образце без подогрева,  $\Delta\tau = 125$  (а); изменение в различные моменты времени мгновенной скорости фронта в направлении  $O\xi$  в различных сечениях образца, а также интегральной глубины превращения и максимальной температуры в зоне превращения второго слоя (б); распределения глубины превращения в поперечном сечении образца после прохождения фронта горения (в):

б: 1 —  $\omega_1$ , 2 —  $\omega_2$ , 3 —  $\omega_3$ , 4 —  $\theta_{\max,2}$ , 5 —  $\eta$ ; в:  $L_1 = 60$ ,  $L_2 = 90$ ,  $L_3 = 500$ ,  $c_Q = 0,7$ ,  $c_a = c_\lambda = 5$ ,  $\theta_{env,1} = \theta_{env,2} = 5$ ,  $\gamma = 0,2$ ,  $\beta = 0,14$ ,  $\theta_{in} = 5$ ,  $z_1 = z_2 = 0,019 \approx z_{cr}$

слоев, а также получить количественную информацию о процессе превращения в алмазосодержащем слое, изучали распределение температуры, глубины превращения и скорости реакции в заранее выбранном поперечном сечении образца. Координату сечения  $\xi_s$  выбирали на таком расстоянии от места инициирования, чтобы не оказывалось влияние начальных условий. Динамику изменения глубины превращения во втором слое при  $\xi = \xi_s$  характеризовали с помощью средней по сечению глубины превращения

$$\eta = I_\eta(\tau) / I_{\eta,\max},$$

где

$$I_\eta(\tau) = \int_{L_1}^{L_2} \eta_2(\zeta) d\zeta,$$

$$I_{\eta,\max} = I_\eta|_{\eta=1} = L_2 - L_1.$$

Для анализа изменения температуры зоны реакции по мере удаления фронта горения

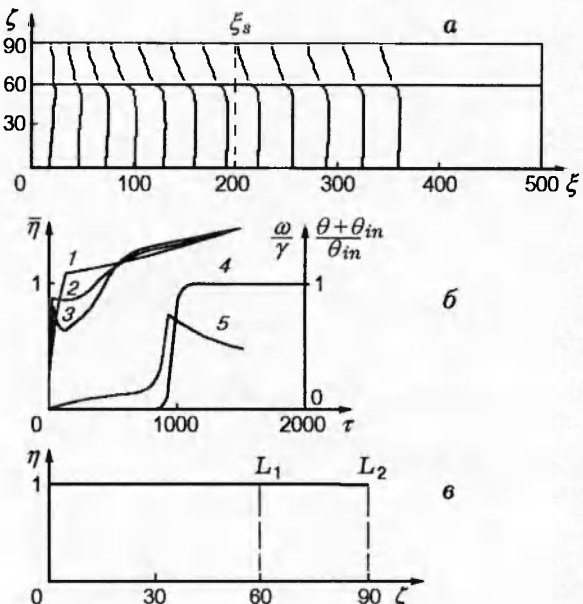


Рис. 3. Форма фронта горения в составном образце, помещенном в среду, нагретую на один характерный температурный интервал (а); изменение в различные моменты времени мгновенной скорости фронта в направлении  $O\xi$  в различных сечениях образца, а также интегральной глубины превращения и максимальной температуры в зоне превращения второго слоя (б); распределения глубины превращения в поперечном сечении образца после прохождения фронта горения (в):

а:  $\Delta\tau = 125$ ; б: 1 —  $\omega_1$ , 2 —  $\omega_2$ , 3 —  $\omega_3$ , 4 —  $\eta$ , 5 —  $\theta_{\max,2}$ ; в:  $L_1 = 60$ ,  $L_2 = 90$ ,  $L_3 = 500$ ,  $c_a = c_\lambda = 5$ ,  $\theta_{env,1} = \theta_{env,2} = 4$ ,  $\gamma = 0,2$ ,  $\beta = 0,14$

от границы раздела проследим за изменением во времени температуры  $\theta_{\max}(\tau)$  в точке максимума скорости тепловыделения.

На рис. 2 показаны структура фронта горения, а также изменение во времени величин  $\omega_1, \omega_2, \omega_3, \bar{\eta}(\tau), \theta_{\max}(\tau)$  по обычному варианту проведения синтеза:  $\theta_{env,1} = \theta_{env,2} = -\theta_{in}$ . Значения  $c_a = c_\lambda = 5$  и  $c_Q = 0,7$  соответствуют значительному ( $\approx 30\%$ ) разбавлению второго слоя алмазным наполнителем, что является причиной разницы теплофизических характеристик первого и второго слоев. При данных значениях параметров коэффициент тепловой активности второго слоя  $\epsilon_2 = \sqrt{\lambda_2 c_2 \rho_2}$  намного больше коэффициента тепловой активности первого слоя  $\epsilon_1 = \sqrt{\lambda_1 c_1 \rho_1}$ :  $k_\epsilon = \epsilon_2 / \epsilon_1 = c_\lambda / \sqrt{c_a} \approx 2,24$ .

Как видно из рис. 2, после инициирования волна горения в алмазосодержащем слое затухает ( $\omega_3, \omega_2 \rightarrow 0$ ,  $\bar{\eta}|_{\xi_s=200} \approx 0,022$ ), сгорает только неразбавленный слой, причем из-за высокой тепловой активности второго слоя на гра-

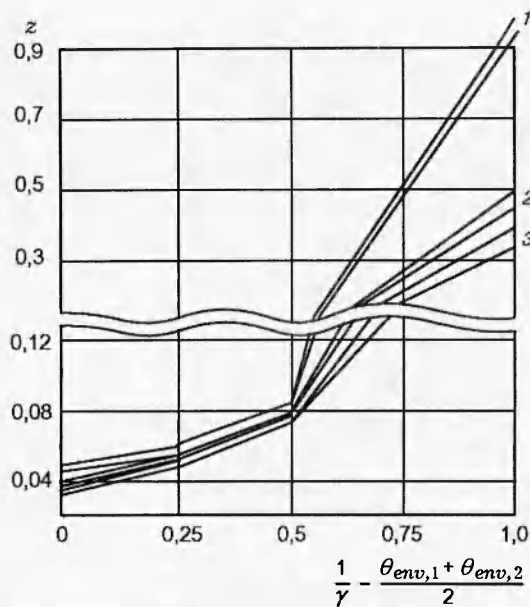


Рис. 4. Влияние температуры окружающей среды на пределы горения образца:

$L_1 = 40, L_2 = 60, L_3 = 500, c_Q = 0,7, \gamma = 0,2, \beta = 0,14; c_a = c_\lambda = 1,5$  (1),  $2,0$  (2),  $2,5$  (3)

нице слоев остается несгоревшая область. Скорость распространения фронта в два раза меньше адиабатической скорости горения первого слоя  $\omega_{ad,1} \approx \gamma$ .

На рис. 3 показаны результаты расчетов параметров горения при тех же значениях коэффициента теплообмена для того же самого образца, помещенного в нагретую среду:  $\theta_{env,1} = \theta_{env,2} = \theta_{in} - 1$ . Видно, что характер горения изменился кардинальным образом. По образцу вдоль оси  $\xi$  распространяется единый фронт превращения. В том же самом поперечном сечении  $\xi$ , средняя глубина превращения, с некоторым запаздыванием по отношению к первому слою, стремится к максимально возможной ( $\eta = 1$ ).

Скорость фронта по мере проникновения волны прогрева в глубь образца непрерывно возрастает и, несмотря на наличие теплопотерь, превышает значение  $\omega_{ad,1}$ . Анализируя картину синтеза, можно констатировать, что такой достаточно простой технологический прием воздействия на процесс горения действительно позволяет решать основные задачи, сформулированные в [2]:

- 1) уменьшить время пребывания алмаза в волне горения за счет увеличения скорости горения образца, что способствует повышению сохранности алмаза;

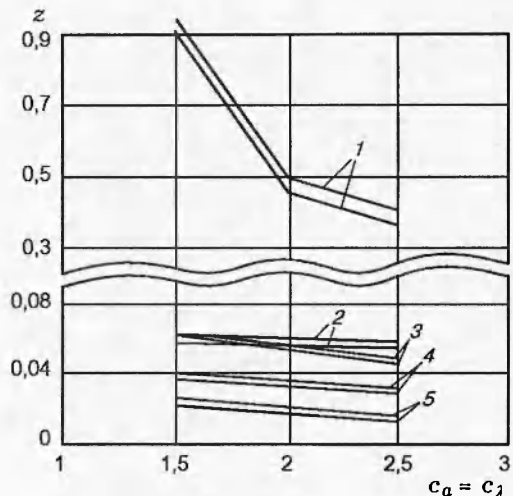


Рис. 5. Зависимость пределов горения составного образца от теплофизических свойств второго слоя:

$L_1 = 40, L_2 = 60, L_3 = 500, c_Q = 0,7, \gamma = 0,2, \beta = 0,14; 1 - \theta_{env,1} - \theta_{env,2} = 4, 2 - \theta_{env,1} - \theta_{env,2} = 4,5, 3 - \theta_{env,1} = 5, \theta_{env,2} = 4, 4 - \theta_{env,1} = 5, \theta_{env,2} = 4,5, 5 - \theta_{env,1} = \theta_{env,2} = 5$

- 2) повысить концентрацию алмаза в смеси, при которой еще возможен процесс получения изделий (по расчетам — в несколько раз).

Детальное численное исследование процесса горения проводили на образце, имеющем следующие характеристики:  $L_1 = 40, L_2 = 60, L_3 = 500, \gamma = 0,2, \beta = 0,14, c_k = 1, c_c = 1, c_E = 1, \theta_{in} = 5, \theta_{ig} = 0$ . Из физических соображений ясно, что увеличение содержания алмаза в шихте приводит к уменьшению теплового эффекта на 1 г смеси, а также к повышению теплопроводности второго слоя из-за высокого значения коэффициента теплопроводности алмаза, поэтому основными параметрами были  $c_Q, c_a, c_\lambda$ . Так как положительный технологический эффект обеспечивался подогревом окружающей образец среды, то варьировались также параметры  $\theta_{env,1}, \theta_{env,2}$ , характеризующие величину подогрева. В результате расчетов определено предельное значение коэффициентов теплопотерь  $z_{cr,1}, z_{cr,2}$ , при которых еще возможно горение. При  $z_1 > z_{cr,1}, z_2 > z_{cr,2}$  процесс горения после стадии инициирования затухает. Для получения качественных изделий мало обеспечить сгорание неразбавленного слоя, надо добиться высокой глубины превращения в алмазосодержащем слое. Поэтому в расчетах

Таблица 1

Зависимость величины критических теплопотерь от температуры окружающей среды  
( $c_a = c_\lambda = 2$ ,  $L_1 = 40$ ,  $L_2 = 60$ ,  $L_3 = 500$ ,  $\gamma = 0,2$ ,  $\beta = 0,14$ )

$c_Q$	$z_{cr} \left( \begin{array}{l} z < z_{cr} \\ z > z_{cr} \end{array} \right)$				
	$-\theta_{env,1} = -5,0$	$-\theta_{env,1} = -5,0$	$-\theta_{env,1} = -5,0$	$-\theta_{env,1} = -4,5$	$-\theta_{env,1} = -4,0$
$0,5$	0,015 0,016	0,027 0,028	0,048 0,049	0,045 0,0475	0,35 0,375
$0,7$	0,018 0,02	0,033 0,034	0,057 0,058	0,053 0,054	0,45 0,5
$0,8$	0,02 0,0225	0,0375 0,04	0,0625 0,065	0,055 0,06	0,55 0,757
$0,9$	—	—	—	—	0,71 0,72
$1,0$	0,03 0,033	0,045 0,05	0,076 0,08	0,065 0,07	0,95 0,975

Примечание. При  $z_{cr} < 0,1$   $\bar{\eta}(z_{cr}) \approx 1$ . При  $\theta_{env,1} = \theta_{env,2} = 4$   $\bar{\eta}(z_{cr}) \approx 0,6$ , при  $z < 0,25z_{cr}$   $\bar{\eta} > 0,9$ . При  $\theta_{env,1} = \theta_{env,2} = 4$  значение  $z_{cr}$  возрастает в несколько раз. В таблице приведены наибольшие расчетные значения  $z$ , при которых еще возможно распространение фронта горения ( $z < z_{cr}$ ), и наименьшие значения  $z$ , при которых происходило затухание фронта химического превращения ( $z > z_{cr}$ ).

Таблица 2

Зависимость критического значения коэффициента теплопотерь от температуры окружающей среды при различных значениях  $c_a$  и  $c_\lambda$   
( $L_1 = 40$ ,  $L_2 = 60$ ,  $c_Q = 0,7$ ,  $\gamma = 0,2$ ,  $\beta = 0,14$ )

$c_a = c_\lambda$	$z_{cr} \left( \begin{array}{l} z < z_{cr} \\ z > z_{cr} \end{array} \right)$				
	$-\theta_{env,1} = -5,0$ $-\theta_{env,2} = -5,0$	$-\theta_{env,1} = -5,0$ $-\theta_{env,2} = -4,5$	$-\theta_{env,1} = -5,0$ $-\theta_{env,2} = -4,0$	$-\theta_{env,1} = -4,5$ $-\theta_{env,2} = -4,5$	$-\theta_{env,1} = -4,0$ $-\theta_{env,2} = -4,0$
$1,5$	0,023 0,025	0,037 0,04	0,057 0,061	0,06 0,062	0,93 0,95
$2,0$	0,018 0,02	0,033 0,034	0,057 0,058	0,053 0,054	0,45 0,5
$2,5$	0,015 0,0175	0,03 0,0325	0,055 0,0575	0,045 0,0475	0,35 0,4

следили за интегральной глубиной превращения в выбранном сечении  $\xi_s$ . Результаты расчетов сведены в табл. 1, 2, а также показаны на рис. 4–6, где верхняя кривая каждой пары соответствует значениям  $z < z_{cr}$ , нижняя —  $z > z_{cr}$ . Как видно из рисунков, резкое изменение значений  $z_{cr,1} = z_{cr,2} = z_{cr}$  происходит при  $-\theta_{env,1} + \theta_{in} = -\theta_{env,2} + \theta_{in} = 1$ . Для того чтобы было заметно изменение  $z_{cr}$  при относительно небольшом подогреве  $-\theta_{env,i} + \theta_{in} \leq 0,5$ , для  $z_{cr}$ , соответствующих данному интервалу измене-

ния  $\theta_{env,i}$ , использована шкала большего масштаба. Как и предполагалось, из всех изменяемых параметров наиболее значительное влияние на процесс горения оказывает температура окружающей среды. Так, увеличение  $\theta_{env,i}$  на один характерный температурный интервал позволило увеличить  $z_{cr}$  более чем в двадцать раз для всех значений  $c_Q$ ,  $c_a$ ,  $c_\lambda$ , используемых в расчетах. Изменение  $c_Q$  от 1 до 0,5, что примерно соответствует разбавлению исходной смеси алмазом на 50 %, привело к уменьшению  $z_{cr}$

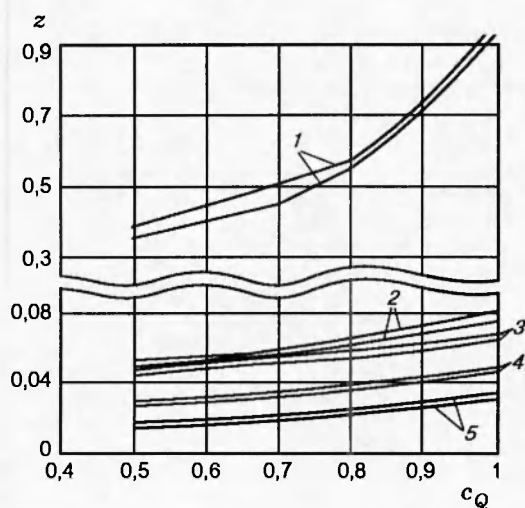


Рис. 6. Влияние разбавления на пределы горения составного образца:

$$L_1 = 40, L_2 = 60, L_3 = 500, \gamma = 0,2, \beta = 0,14, c_a - c_\lambda = 2; 1 - \theta_{env,1} = \theta_{env,2} = 4, 2 - \theta_{env,1} = \theta_{env,2} = 4,5, 3 - \theta_{env,1} = 5, \theta_{env,2} = 4, 4 - \theta_{env,1} = 5, \theta_{env,2} = 4,5, 5 - \theta_{env,1} = \theta_{env,2} = 5$$

всего в 2,5 раза при фиксированном значении остальных параметров. Увеличение  $c_a, c_\lambda$  от 1,5 до 2,5 также дает снижение  $z_{cr}$  всего в два раза при нагреве окружающей среды на один характерный интервал.

## ВЫВОДЫ

- Численно исследована тепловая и концентрационная структура фронта горения в двухслойном образце.
- Определены пределы горения составного образца при различном значении тепловых эффектов и теплофизических характеристик слоев.

3. Предложено управлять процессом горения с помощью помещения образца в нагретую среду.

4. Показана высокая эффективность такого способа воздействия на процесс горения и глубину превращения в разбавленном слое уже при повышении температуры всего на один характерный температурный интервал.

## ЛИТЕРАТУРА

- Падюков К. Л., Левашов Е. А., Боровинская И. П., Кост А. Г. Закономерности поведения синтетического алмаза в волне горения СВС // Инж.-физ. журн. 1992. Т. 63, № 5. С. 577–583.
- Левашов Е. А., Вьюшков Б. В., Штанская Е. В., Боровинская И. П. Особенности формирования структуры и свойств алмазосодержащих функциональных градиентных материалов // Изв. вузов. Цветная металлургия. 1996. № 1. С. 52–59.
- Физические свойства алмаза: Справочник / Н. В. Новиков, Ю. А. Кочергинский и др. Киев: Наук. думка, 1987.
- Мержанов А. Г., Рогачев А. С., Мукасыян А. С., Хусид Б. М. Макрокинетика структурных превращений при безгазовом горении смесей порошков титана и углерода // Физика горения и взрыва. 1990. Т. 26, № 1. С. 104–114.
- Шкадинский К. Г., Хайкин Б. И., Мержанов А. Г. Распространение пульсирующего фронта экзотермической реакции в конденсированной фазе // Физика горения и взрыва. 1971. Т. 7, № 1. С. 19–28.
- Septyarskii B. S., Grachev V. V., Maklakov S. V., and Borovinskaya I. P. Self-propagating high-temperature synthesis in preliminary developed temperature fields // Intern. J. SHS. 1993. V. 2, N 1. P. 1–11.

Поступила в редакцию 22/V 1998 г.